

PDA와 NdienOenH₄를 이용한 Ag(I)-이온선택성전극의 제조와 특성

金海仲 · 李東根 · 張丁浩 · 鄭龍錫 · 辛永國

충북대학교 자연과학대학 화학과

(1997. 5. 8 접수)

Preparation and Characteristics of Ag(I)-Ion Selective Electrode Using PDA and NdienOenH₄

Hae Joong Kim, Dong Geun Lee, Jeong Ho Chang, Yong Seog Chung, and Young-Kook Shin

Department of Chemistry, Chungbuk National University, Cheongju 361-763, Korea

(Received May 8, 1997)

중성운반체를 이용한 막형의 이온선택성전극들은 우수한 선택성, 빠른 감응도, 전극제조와 용이성 및 소형화 등의 유용성이 있기 때문에 연구가 활발히 진행되고 있다.¹⁻² 주개 원자로서 산소원자를 포함하고 있는 크라운에테르의 경우, 알칼리금속이온과 알칼리토금속이온들에 대하여 선택성을 가지고 있다는 성질이 알려진 이후, 크라운에테르를 중성운반체로 이용한 이온선택성전극에 관한 연구가 활발히 진행되고 있지만, 주로 알칼리금속이온에 관한 연구에³⁻⁵ 한정되어 있다. 또한 알칼리금속이온이나 알칼리토금속이온들과는 달리 전이금속이온들은 그들간의 크기차이가 작으며, 질소나 황처럼 무른 성질을 가진 주개 원자가 포함된 고리를 형성하고 있는 중성운반체와 강한 결합을 이루어 양이온의 감응도가 작아지기⁶ 때문에 황원자와 산소원자가 포함된 거대고리화합물을 중성운반체로 이용한 전이금속이온선택성전극에 관한 연구 논문은⁶⁻⁹ 적다.

전보에서는¹⁰ 주개원자로서 산소와 질소원자를 포함하고 있는 PDA(6,9,12-trioxa-3,15,21-triaza-bicyclo[15,3,1]heneicosa-1(21),17,19-triene-2,16-dione)와 NdienOenH₄(1,12,15-triaza-3,4; 9,10-dibenzo-5,8-dioxacycloheptadecane)를 이용하여 2상계(H₂O-CHCl₃)에서 전이금속이온들의 추출평형상수를 조사하여 다른 금속이온에 비하여 Ag(I)이온이 특히 크다고 하였으며, 금속이온을 선택적으로 인식하는 과정에서 탈수화과정이 중요하다고 하였다.¹¹ 그러므로 본 연구에서는 PDA와 NdienOenH₄를 중성운반체로 사용하여 제조

한 Ag(I)이온선택성전극의 제조과정, 방해이온인 알칼리금속[Na(I), K(I)], 알칼리토금속[Mg(II), Ca(II)]과 일부 전이금속이온[Co(II), Ni(II), Cu(II), Zn(II), 및 Cd(II)]에 대한 Ag(I)이온의 선택성, 감응도 및 pH변화에 따른 전위차변화의 원인등을 보고하고자 한다.

실 험

금속염은 Co(NO₃)₂ · 6H₂O(Avondale Lab., G.R.급), Ni(NO₃)₂ · 6H₂O(Junsei Chem. Co., G.R.급), Cu(NO₃)₂ · 2H₂O (Kanto Chem., G.R.급), Zn(NO₃)₂ · 2H₂O (Fluka., G.R.급), AgNO₃(Junsei Chem., G.R.급), Cd(NO₃)₂ · 2H₂O(Junsei Chem., G.R.급) 및 Fe(NO₃)₃ · H₂O(Shino Chem., G.R.급)를 정제하지 않고 그대로 사용하였다. 막제조에는 polyvinyl chloride(Sigma., A.R.급), dioctyl phthalate(Fluka., A.R.급)와 THF(Shino Chem., G.R.급)를 사용하였다.

중성운반체는 Kim 등의 방법¹²에 의해 합성한 후, IR Spectrophotometer(JASCO 300-E), NMR Spectrometer(Bruker, AC-250, 250 MHz) 및 Mass Spectrometer(England, VG 70-SEQ)를 이용하여 측정된 스펙트럼이 문헌치와 일치함을 확인하였으며, 합성된 PDA(6,9,12-trioxa-3,15,21-triazabicyclo[15,3,1]heneicosa-1(21),17,19-triene-2,16-dione)와 NdienOenH₄(1,12,15-triaza-3,4; 9,10-dibenzo-5,8-dioxacycloheptadecane)의 구조는 Fig. 1에 나타내었다. 전위차측정에는 NOVA 210 Digital pH/mV meter를 사용하였으며, pH

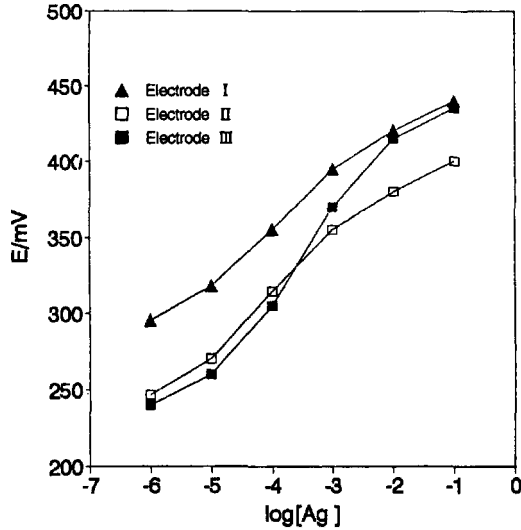


Fig. 2. Response curves of Ag(I) ion-selective electrodes based on PDA at 25 °C. The background electrolyte was 0.05 M Tris-HCl, pH 6.0.

라서 전극 I, 전극 II, 전극 III 등을 제조하였으며, Fig. 2에서는 이들 전극의 감응곡선을 나타내었다.

이들 전극의 감응농도 범위는 AgNO₃ 농도가 1.0×10^{-2} M~ 1.0×10^{-5} M이었으며, 감응기울기의 범위는 37.0~52.3 mV/decade를 나타내었다. 이들 전극 중에서 전극 I, 전극 II의 감응기울기는 37.0~38.0 mV/decade로서 Bole과 Buck 등의¹⁴ 이론으로 25 °C에서 계산한 이론적인 Nernstian기울기로부터 크게 벗어나는데 비해 막의 조성이 중성운반체 34%, PVC 20%, DOP 46%인 펠렛형막인 전극 III의 감응기울기는 이론적인 기울기와 거의 근사한 52.3 mV/decade를 나타내었다. 이들 전극의 경우, 평균수명은 20일 정도로서 크라운에테르를 중성운반체로 이용한 이온선택성전극들의 평균수명(2~5일)¹⁵보다는 길었다.

중성운반체로 NdienOenH₄를 사용한 Ag(I)이온선택성전극의 경우에는 막조성비에 따라 전극 IV, 전극 V, 전극 VI을 제조하였는데, 전극들의 감응농도 범위는 AgNO₃ 농도가 1.0×10^{-2} M~ 1.0×10^{-4} M로서 PDA를 중성운반체로 사용한 Ag(I)이온선택성전극에 비하여 떨어졌으며, 감응기울기의 범위는 48.1~56.0 mV/decade를 나타내었다. 이들 전극 중에서 막의 조성이 중성운반체 75%, PVC 25%인 펠렛형막인 전극 VI의 감응기울기가 이론적인 기울기와 거의 근사한 56.0 mV/decade를 나타내었다.

Table 2. Effect of soaking time on the performance characteristics of the Ag(I)-ISEs

Soaking time (hour)	Slope (mV/decade)	
	Electrode III	Electrode VI
24	46.6	51.5
48	52.3	56.0
72	50.0	55.0
120	50.5	52.5

전극 IV, 전극 V 및 전극 VI을 제조할 때, 전극 I, 전극 II 및 전극 III을 제조할 때와는 달리 DOP를 첨가하면 거품형태로 고형화되어 막이 형성되지 않았기 때문에 DOP를 넣지 않았다. 또한 펠렛형막과 필름형막의 감응성 차이는 크지 않았으며, 중성운반체의 종류와 양에 따라 감응성 및 재현성의 차이가 있었다. 이들 전극의 평균수명도 10일 정도로서 크라운에테르를 중성운반체로 이용한 이온선택성전극들의 평균수명보다 길었다.

담금시간효과. 제조한 막전극을 오래 보관하거나 그대로 사용하면 그 전위가 불안정하고 재현성이 없음은 잘 알려진 사실이다.¹⁶ 본 실험에서도 제조한 막을 증류수에 담그고, 담금시간의 변화에 따른 감응도를 조사하여 Table 2에 나타내었다. Table 2에서 보듯이 담금시간에 따른 PDA를 중성운반체로 이용한 전극과 NdienOenH₄를 중성운반체로 이용한 이온선택성전극 모두 48시간 경과 후에 가장 안정된 전위값과 재현성 있는 기울기를 나타내었다. 그 이유는 막의 재료로 PVC와 같은 소수성 물질이 함유되어 수화의 평형에 48시간 정도 걸리기 때문인 것으로 생각된다. 따라서 제조한 막전극을 48시간 이상 증류수에 담근 다음, 모든 전극의 성질을 조사하였다.

선택계수. PDA와 NdienOenH₄를 중성운반체로 이용한 이온선택성전극에 대한 방해이온 효과를 분리용액법으로 측정하여 Table 3에 나타내었다. Table 3에서 보듯이 전이금속이온의 선택계수의 크기 순위는 Co(II) > Ni(II) > Cu(II) < Zn(II) < Cd(II)로서, 이 순위는 금속이온들의 수화자유에너지¹⁷ 크기 순위 Co(II) < Ni(II) < Cu(II) > Zn(II) > Cd(II)와는 반대로 나타났다. 또한 알칼리토금속양이온 또는 Pb²⁺ 등의 중금속양이온의 경우도 수화에너지의 크기가 큰 이온의 방해효과가 대체적으로 작음을 알 수 있

Table 3. Selectivity coefficients ($K_{Ag, M}^{pot}$) for electrode III and VI

Interfering ions	$K_{Ag, M}^{pot}$ (separate solution method)		Free energy of hydration ($-\Delta G_{w-g}^{\circ}$, kcal/mol) ^a
	Electrode III	Electrode VI	
Na(I)	2.8×10^{-3}	1.6×10^{-2}	98.3
K(I)	1.6×10^{-2}	2.0×10^{-4}	80.8
Mg(II)	2.2×10^{-4}	7.1×10^{-4}	455.5
Ca(II)	1.1×10^{-3}	7.8×10^{-4}	380.8
Mn(II)	6.7×10^{-4}	7.0×10^{-4}	430.3
Co(II)	3.6×10^{-4}	3.2×10^{-4}	479.5
Ni(II)	3.2×10^{-4}	2.5×10^{-4}	494.2
Cu(II)	1.2×10^{-4}	2.0×10^{-4}	498.5
Zn(II)	5.0×10^{-4}	6.3×10^{-4}	484.6
Cd(II)	6.7×10^{-4}	7.9×10^{-4}	430.3
Pb(II)	7.4×10^{-4}	8.4×10^{-4}	359.8
Cr(III)	5.0×10^{-5}	1.8×10^{-4}	1037.0

a: reference 17, ΔG_{w-g}° (Ag(I)), 114.5 kcal/mol

다. 이로부터 탈수화에 관련된 자유에너지가 선택계수의 중요한 요인으로 작용함을 알 수 있었다. 즉 탈수화에 관련된 과정이 금속이온을 선택적으로 인식하는 과정에서 중요한 요인으로 작용함을 확인할 수 있었다. 또한 이들 운반체와 금속이온들이 착물을 형성할 때 결합력이 큰 전이금속양이온들의 방해정도가 클 것이라는 예측과는 다르게 결합력이 작은 이온들[Na(I), K(I)]이 다른 이온들에 비하여 선택계수가 비교적 크게 나타났다. 이것은 Ag(I)이온과 이들 이온들의 전하가 동일하며, 수화자유에너지의 크기도 유사하므로 착이온형성과정에서 물과 가스제 사이의 분배계수가 유사하기 때문이라고 할 수 있다.¹⁸

pH효과. 일반적인 방법에 따라¹⁹ PDA와 Ndi-enOenH₄를 중성운반체로 이용한 전극의 pH변화에 대한 전위차를 측정하여 Fig. 3에 나타내었다. Fig. 3에서 보듯이 PDA를 중성운반체로 이용한 막전극은 pH 4.0~7.0에서 거의 일정한 전위차를, Ndi-enOenH₄를 중성운반체로 이용한 전극은 pH 3.5~7.0에서 일정한 전위차를 보였다. 그러나 이들 두 막전극은 산성영역(pH ≤ 4.0)에서 pH변화에 따라서 심하게 변하였는데, 그 까닭은 pH ≤ 4.0에서는 이들 리간드에 양성자첨가반응이 일어나서 심한 방해효과를 일으키기 때문이라고 할 수 있다. 또한 용액의 농도가 묽어질수록 이온의 방해효과가 증가함을 알 수 있었다. pH 7.0 이상에서는 수산화물침전이 생기므로 측정이 불가능하였다.

결론적으로 제작한 전극I-VI 형태의 Ag(I)이온선

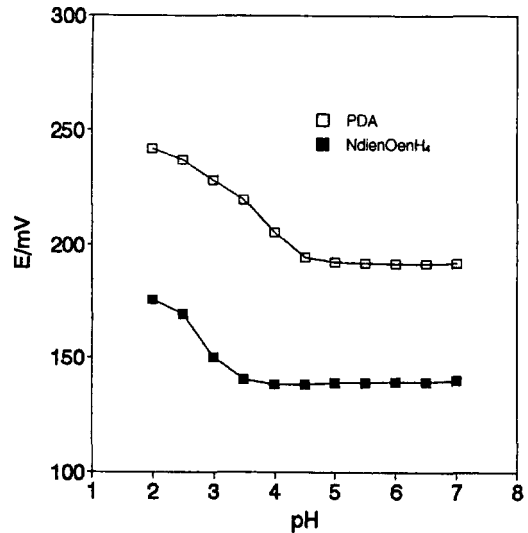


Fig. 3. Influence of pH on Ag(I)-ISE response.

택성전극 중에서 PDA를 중성운반체로 이용한 전극 III과 Ndi-enOenH₄로 이용한 전극 VI의 경우, 감응 기울기(52.3 mV/decade와 56.0 mV/decade)와 감응 범위(1.0×10^{-2} M~ 1.0×10^{-5} M)가 비교적 좋게 나타났다. 또한 지금까지 보고된 거대고리화합물들을 중성운반체로 이용한 이온선택성전극 보다도 전극 수명(1주~2주 이상)¹⁵이 길며, 비교적 넓은 pH 영역(pH ≥ 3.5)에서 일정한 감응전위를 나타내므로 Ag(I)이온선택성 전극으로서 이용될 수 있을 것으로 생각된다.

인 용 문 헌

1. Carey, C. M.; Riggan, W. B. *Anal. Chem.* **1994**, *66*, 3587.
2. Suzuki, K.; Watanabe, K.; Kobayashi, M.; Sato, S.; Siswanta, D.; Hisamoto, H. *Anal. Chem.* **1995**, *65*, 3404.
3. An, H.; Wu, Y-J.; Zhang, Z.; Izatt, R. M.; Bradshaw, J. S. *J. Inclu. Pheno. & Mole. Recog. Chem.* **1991**, *11*, 303.
4. Tamura, H.; Kimura, K.; Shono, T. *Anal. Chem.* **1982**, *54*, 1224.
5. Kimura, K.; Oishi, H.; Miura, T.; Shono, T. *Anal. Chem.* **1987**, *59*, 2331.
6. Siswanta, D.; Hisamoto, H.; Toshima, K.; Suzuki, K. *Anal. Chem.* **1996**, *68*, 4166.
7. Lai, M. -T.; Shih, J. -S. *Analyst* **1986**, *111*, 891.
8. Masuda, Y.; Yakabe, K.; Shibutani, T. *Anal. Sci.* **1994**, *63*, 491.
9. Casabo, J.; Mestres, L; Escriche, L.; Teixidor, F.; Perez-Jimenez, C. *J. Chem. Soc., Dalton Trans* **1991**, 1969.
10. Lee, D. G.; Chung, Y. S.; Shin, Y. -K. *J. Korean Chem. Soc.* **1995**, *39*, 114.
11. Cinai, S.; Eiseman, G.; Sahazo, G. *J. Membrane Bio.*, **1969**, *1*, 1.
12. Kim, D. W.; Shin, Y. -K.; Oh, J. J.; Yang, J. H. *Bull. Korean Chem. Soc.* **1991**, *12*, 591.
13. Koryta, J.; Stulik, K. *Ion Selective Electrodes*; Cambridge University Press: Cambridge, 1983; p 77.
14. Bole, J. H.; Buck, R. P. *Anal. Chem.* **1973**, *45*, 2057.
15. Hong, U. S.; Kwon, H. K.; Cha, G. S.; Nam, H. H.; Chang, S. H.; Chung, K. B. *J. Korean Chem. Soc.* **1995**, *39*, 698.
16. Shoukrya, A. F.; Badaway, S. S.; Issa, Y. M. *Anal. Chem.* **1987**, *59*, 1078.
17. Friedman, H. L.; Krishman, C. V. *Water, a Comprehensive Treatise*; Frank, F. Ed.; Plenum: New York, **1973**, *3*, 54.
18. Tuladhar, S. M.; Williams, G.; D'Siliva, C. *Anal. Chem.* **1991**, *63*, 2282.
19. Senkyr, J.; Kouril, K. *J. Electroanal. Chem.* **1984**, *180*, 383.